

УДАРНО-ВОЛНОВОЙ СИНТЕЗ АЛМАЗА  
ИЗ ФУЛЛЕРНОВ  $C_{60}-C_{100}$

*O. Г. Епанчинцев, А. Е. Корнеев, А. А. Дитятьев, В. Ф. Нестеренко,  
В. А. Симонов, Я. Л. Лукьянов*

Центральный НИИ технологии машиностроения,  
109088 Москва

Впервые осуществлен ударно-волновой синтез алмаза из порошка фуллеренов  $C_{60}-C_{100}$  с использованием техники взрывного компактирования с плоской схемой нагружения в диапазоне давлений 24–40 ГПа. Полученные компакты разного исходного состава содержали алмаз, ГЦК-фуллерит  $C_{60}$ , графит и аморфный углерод. Наиболее крупные алмазы размерами 0,1–1 мкм получены при ударном нагружении давлениями 24 и 38 ГПа таблеток из медного порошка с массовым содержанием 5 % фуллерита и давлением 40 ГПа таблеток из медного порошка, содержащего 10 % фуллерита. Алмаз синтезирован без образования в конечных продуктах промежуточных алмазоподобных фаз типа  $n$ -алмаза и гексагонального алмаза (лонсдейлита).

В работе [1] получены фуллерены  $C_{60}$  — углеродные кластеры большой массы, состоящие из 60 атомов углерода. Между атомами углерода в фуллерене  $C_{60}$  существуют сильные ковалентные связи, обуславливающие исключительную стабильность этого соединения (выдерживают давление до 20 ГПа при комнатной температуре и температуру до 1800 К при нормальном давлении [2]).

В настоящее время наряду с фуллереном  $C_{60}$  известны многие другие углеродные кластеры, относящиеся к семейству фуллеренов. Эти кластеры в виде многогранников разной формы, составленных из углеродных пяти- и шестиугольников, содержат в вершинах от 28 до 540 атомов углерода. В [3] синтезирована в макроскопических количествах кристаллическая форма фуллерена  $C_{60}$ , названная фуллеритом. Работа [3] положила начало этапу интенсивных исследований фуллеренов и фуллеритов во многих странах.

Фуллерит  $C_{60}$  состоит из молекул фуллерена  $C_{60}$ , образующих структуру типа плотноупакованной кубической или гексагональной. Сочетание сильной ковалентной связи атомов углерода в молекулах  $C_{60}$  и очень слабой ван-дер-ваальсовой связи молекул  $C_{60}$  в решетке фуллерита  $C_{60}$  может обусловить необычные физические и механические свойства этого твердого тела, а также других фуллеритов.

Фуллериты характеризуются высокой пластичностью и вместе с тем, согласно теоретическим расчетам [4], при повышенных давлениях должны обладать исключительно высокими жесткостью и твердостью, превращаясь в алмазоподобное вещество, превышающее твердость алмаза. Экспериментальные данные [2, 5–8] подтверждают образование из фуллеренов алмазоподобных фаз (наряду с другими фазами) под действием высоких давлений.

В свете изложенного природа фазовых превращений в фуллеритах представляет значительный интерес для широкого диапазона давлений и температур, а сами фуллериты и фуллерены являются исключительно интересным объектом фундаментальных и прикладных исследований.

© О. Г. Епанчинцев, А. Е. Корнеев, А. А. Дитятьев, В. Ф. Нестеренко, В. А. Симонов, Я. Л. Лукьянов, 1995

Весьма перспективно направление — синтез алмаза из фуллеренов, практически реализованный в условиях статического [5] и ударно-волнового нагружения [6, 7]. Ограниченностю информации по данному вопросу обуславливает необходимость комплексной разработки научных основ и технологических принципов синтеза алмаза из фуллеренов. Для его осуществления большие возможности дает ударно-волновое нагружение с использованием энергии взрыва.

Характерная особенность последнего при обработке твердых тел — очень высокая концентрация дефектов, генерируемых в кристаллической решетке, и высокий уровень внутренних напряжений, которые заметно ускоряют протекание фазовых превращений и существенно влияют на формирование структуры материала [9].

В связи с рассматриваемой проблемой необходимо отметить перспективность применения фуллеренов в качестве исходного материала для получения алмаза. Действительно, если использовать для этой цели другую кристаллическую модификацию углерода — графит, то для образования алмаза требуется значительная структурная перестройка. Сильное различие структур графита и алмаза не позволяет синтезировать алмаз из графита за счет воздействия высокого давления при комнатной температуре [5], несмотря на то, что согласно  $p$ - $T$ -диаграмме углерода [10], алмазная фаза стабильна при комнатной температуре и давлении  $\geq 2$  ГПа. Препятствует превращению графит — алмаз в таких условиях очень малая скорость процесса.

В противоположность структуре графита в молекулах фуллерена  $C_{60}$  из 60 атомов углерода 48 характеризуются квазитетраэдрической координацией, подобной координации атомов углерода в решетке алмаза. Фактором, стимулирующим протекание превращения фуллерит — алмаз при ударном нагружении, может служить использование в качестве исходного материала менее стабильных, чем  $C_{60}$ , тяжелых фуллеренов, содержащих в молекуле значительно больше 60 атомов углерода. В этой связи перспективно использовать фуллеритовой порошок с повышенным содержанием тяжелых фракций.

Другой стимулирующий фактор, основанный на принципе дестабилизации молекул фуллеренов, — нагружение образцов в негидростатических условиях, например в режиме сдвиговой деформации. Согласно [5], быстрое сжатие в этих условиях до  $p = 20 \pm 5$  ГПа при комнатной температуре обеспечивает мгновенное превращение порошка  $C_{60}$  в поликристаллы кубического алмаза размером 2–100 нм.

При отработке технологии ударно-волнового синтеза алмазов из фуллеренов наряду с выбором оптимальных параметров ударного нагружения необходимо решить ряд других задач: обеспечить интенсивный теплоотвод из прессовок, содержащих алмазную фазу высокого давления, поскольку в противном случае алмазная фаза трансформируется при  $T \approx 1270$  К в графит или сажу. В [6] нагружению в газовой пушке до  $p = 69$  ГПа подвергали тонкие (2,5 нм) пленки фуллерита  $C_{60}$ , осажденные на массивной (3 мм) медной подложке. Ударная температура пленки  $C_{60}$  достигала 2200 К, затем резко понижалась со скоростью  $10^{11}$  К/с. Благодаря такой высокой скорости закалки фазы высокого давления сохранялись при нормальных условиях. Величина  $p = 69$  ГПа в образцах соответствовала диапазону давлений, при которых реализован ударный синтез метастабильного  $n$ -алмаза из графитовой фольги толщиной 100 мкм [11, 12].

Просвечивающая электронная микроскопия образцов показала, что они содержат аморфизированный кубический алмаз и очень мелкие (5–35 нм) кристаллиты  $n$ -алмаза. Очевидно, что тонкопленочные образцы  $C_{60}$  находились при ударном нагружении под действием высоких давлений

и температур достаточно долго для распада фуллерита, но для заметного роста кубического алмаза этого времени мало.

Ударному нагружению в диапазоне  $p = 12\text{--}37$  ГПа подвергали порошковую смесь фуллерита  $C_{60}$  и металлической меди [7]. Исходный фуллеритовый порошок содержал также небольшое количество фуллерита  $C_{70}$ . Расчетная температура нагрева образцов при ударном нагружении составляла 1100–2400 К. Ударные давления и температуры соответствовали области стабильности алмазной фазы [10]. Исследуемую порошковую смесь запрессовывали в ампулы из меди или нержавеющей стали и ударно нагружали в газовой пушке. Рентгеноструктурный анализ перссовок, подвергнутых ударному нагружению интенсивностью 12 и 19 ГПа, показал сохранение в их структуре фуллерита  $C_{60}$  и образование графита. В прессовках, нагруженных давлением 20–37 ГПа, наблюдали образование графита и мелкодисперсной алмазной фазы, диаметр частиц которой, по данным электронной микроскопии, составлял 5–25 нм.

Принципиально важен поиск режимов нагружения в условиях, обеспечивающих использование конденсированных взрывчатых веществ, поскольку методы получения высоких давлений в газовых пушках весьма трудоемки при практической реализации и не обеспечивают выхода на технологические промышленные масштабы [6].

Следует особо подчеркнуть, что условия нагружения в газовых пушках (обеспечение высокоточной плоскости удара) в сравнении с таковыми при использовании ударников, разогнанных взрывчатыми веществами, могут качественно отличаться, например величиной сдвиговой деформации в компактируемом порошке, а это обуславливает качественное различие структур сохранения материалов. Наиболее распространенная осесимметрическая схема ударного нагружения с применением ВВ в ряде случаев характеризуется большими градиентами давлений и температур [13].

Стабильность фуллеренов при ударном нагружении с применением ВВ исследовали в [13, 14]. Ударное нагружение в диапазоне технологических [15] давлений 5–20 ГПа проводили по осесимметрической схеме в медных ампулах, используя в качестве исходного материала порошки фуллерита  $C_{60}$  и порошковые смеси  $C_{60}$  с металлическим натрием. Структуру исходного  $C_{60}$  и полученных после взрывной обработки компактов исследовали методами рентгеноструктурного и масс-спектрометрического анализа. В рассмотренном диапазоне давлений кристаллическая решетка  $C_{60}$  сохраняла стабильность при  $p = 5, 7$  и 10 ГПа, однако разрушалась при  $p \approx 20$  ГПа, что согласуется с данными [7], подтверждая существование порогового давления стабильности фуллерита  $C_{60}$  вблизи  $p = 20$  ГПа как при статическом, так и при ударном нагружении.

Исходный фуллеритовый порошок для выполнения данной работы приготавливали аналогично [14]. В качестве закалочной среды, обеспечивающей достаточно высокую скорость закалки для сохранения при нормальных условиях фаз высокого давления образующихся при ударном нагружении фуллеренов, использовали медный порошок. На его основе готовили порошковые смеси с массовым содержанием фуллеритов 2, 5 и 10 %. Из этих смесей с помощью гидравлического пресса в стальной пресс-форме делали таблетки диаметром 10,2 и толщиной 5,0 мм ( $g = 2$  и 5 %) или 2,9 мм ( $g = 10$  %). Давление прессования составляло 1,8 т/см<sup>2</sup>. Плотность и пористость таблеток из порошков разного состава приведены в табл. 1.

Таблетки монтировали внутри контейнера, состоящего из двух посаженных плотно одна в другую медных цилиндрических чашек с толщиной боковых стенок и днища 1 мм. Контейнеры с таблетками устанавливали в гнездах плоской стальной ампулы сохранения (рис. 1). Последняя состояла

из двух массивных дисков (крышка с размещенными в ней таблетками и основание) диаметром 50 и толщиной 10 мм каждый. Исходное расстояние между нагружаемой (контактной) поверхностью крышки ампулы сохранения и ударником составляло 10 мм.

Таблица 1

Образец	Масса компонентов смеси медь/фуллерит, г	$g, \%$	$\rho_i, \text{г}/\text{см}^3$	$\rho_{mc}, \text{г}/\text{см}^3$	$\Pi, \%$
1, 3	2,450/0,050	2	$6,04 \pm 0,07$	8,47	29
4, 6	2,375/0,125	5	$5,79 \pm 0,01$	7,85	26
41, 43	1,125/0,125	10	$5,19 \pm 0,05$	7,02	26

Примечание.  $\rho_i$  — плотность исходных таблеток, рассчитанная на основе изменения массы и геометрических размеров таблеток;  $\rho_{mc}$  — плотность монолитной (беспористой) смеси;  $\Pi$  — пористость таблеток.

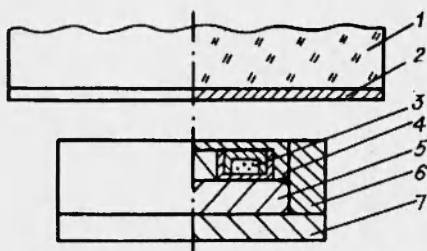


Рис. 1. Сборка для ударно-волнового нагружения:

1 — заряд ВВ; 2 — ударник (металлическая пластина толщиной 5 или 3 мм); 3 — контейнер с таблеткой; 4 — крышка ампулы сохранения; 5 — основание ампулы сохранения; 6 — обойма; 7 — откольный элемент.

В результате подрыва и детонации установленного на ударнике плоского заряда ВВ (гексоген, толщина насыпного слоя 60 мм, скорость детонации  $D = 6600 \text{ м}/\text{с}$ ) осуществлялось метание ударника со скоростью  $v_0 = 1600$  или  $2200 \text{ м}/\text{с}$  в сторону ампулы сохранения. Развиваемое при соударении ударника с контактной поверхностью ампулы давление ( $p_1 = 35$  или  $49,5 \text{ ГПа}$ ) в крышке ампулы определяли по построенным для ударника и крышки ударным адиабатам [16]. Скорость метания рассчитывали по формуле

$$v_0 = \frac{\sqrt{1 + \frac{32}{27} r} - 1}{\sqrt{1 + \frac{32}{27} r} + 1} D, \quad (1)$$

приведенной в [17] для показателя политропы продуктов детонации  $K = 3$ . Здесь

$$r = \frac{h \rho_g}{\delta \rho_c} \quad (2)$$

— отношение масс ВВ и ударника (1,5 или 2,6);  $h$  — толщина насыпного слоя гексогена (60 мм);  $\delta$  — толщина (5 или 3 мм) метаемой металлической пластины (ударника);  $\rho_g$  — плотность порошка гексогена ( $1,0 \text{ г}/\text{см}^3$ );  $\rho_c$  — плотность стали ( $7,8 \text{ г}/\text{см}^3$ ).

Генерируемая при соударении ударника с ампулой сохранения плоская ударная волна (УВ) обжимает таблетку, размещенную в медном контейнере, стенки которого играют роль прессующего элемента. При переходе УВ через границу стальной ампулы — таблетка в последней реализуется давление  $p_2$ , которое можно найти, зная ударную адиабату порошковой смеси. Исходные таблетки — это пористая среда, плотность которой за фронтом УВ можно считать в первом приближении близкой к плотности монолитной (беспористой) смеси  $\rho_{mc}$  (см. табл. 1). Величину  $\rho_{mc}$  рассчитывали, принимая плотности меди, фуллерита  $C_{60}$  и алмаза, равными 8,96,

1,7 и 3,52 г/см<sup>3</sup> соответственно и предполагая, что углеродный компонент компактов, полученных при ударном нагружении исходных таблеток, состоял из равных количеств алмаза и остаточного фуллерита С<sub>60</sub>. Это предположение основано на результатах рентгеновского структурного анализа (табл. 2). Пористость исходных таблеток определяли по выражению

$$\Pi = \frac{\rho_{\text{mc}} - \rho_{\infty}}{\rho_{\text{mc}}} \cdot 100\%, \quad (3)$$

Ударная адиабата монолитной порошковой среды в [16] представлена в виде

$$p_2 = \frac{u}{\rho_i^{-1} - \rho_{\text{mc}}^{-1}}, \quad (4)$$

где  $u$  — массовая скорость порошка.

С использованием формулы (4) и приведенных выше данных построены ударные адиабаты порошковых смесей разных составов, точки пересечения которых с ударными адиабатами ударника толщиной 5 и 3 мм соответствуют величине  $p_2$  (см. табл. 2). Диапазон давлений, использованных для ударного компактирования медь-фуллеритовых смесей, превышал пороговое давление стабильности фуллерита С<sub>60</sub>.

Таблица 2

Образец	$g$ , %	$p_1$ , ГПа	$p_2$ , ГПа	Фазовый состав и структура
1	2		24	С <sub>60</sub> (ГЦК) + С <sub>60</sub> (ГПУ) + С <sub>70</sub> (ГПУ) + + графит + алмаз
4	5	35	24	С <sub>60</sub> (ГЦК) + графит + алмаз
41	10		26	С <sub>60</sub> (ГЦК) + графит + алмаз
3	2		38	С <sub>60</sub> (ГЦК) + графит + алмаз
6	5	49,5	38	С <sub>60</sub> (ГЦК) + графит + алмаз
43	10		40	С <sub>60</sub> (ГЦК) + графит + алмаз

Исходные фуллеритовые порошки, таблетки и компакты, полученные ударно-волновым нагружением, исследовали методами световой и проектирующей электронной микроскопии, масс-спектрометрии и рентгеноструктурного анализа. Масс-спектрометрический анализ на установке LAMMA-1000 показал, что исходный фуллеритовый порошок состоит преимущественно из фуллерита С<sub>60</sub>, а также содержит более тяжелые фракции в диапазоне С<sub>60</sub>–С<sub>100</sub>. По данным рентгеноструктурного и электронно-микроскопического анализа основная фракция порошка представляла собой фуллерит С<sub>60</sub> с ГКЦ-решеткой ( $a = 14,12 \text{ \AA}$ ). Большинство частиц были овальной формы. Частицы имели размеры от десятых долей до десятков микрон. Наряду с фазой С<sub>60</sub> в образцах присутствовал в небольших количествах фуллерит С<sub>70</sub> с гексагональной решеткой ( $a = 10,66 \text{ \AA}$ ,  $c = 17,20 \text{ \AA}$ ) и в очень малых количествах — фуллерит С<sub>60</sub> с ГПУ-решеткой. Графит полностью отсутствовал.

Основная цель данного исследования — обнаружение и идентификация алмазоподобных фаз в компактах разного состава с учетом возможности образования промежуточных метастабильных фаз: *n*-алмаза и гексагонального алмаза [12] наряду с кубическим алмазом. Ввиду незначительного различия параметров решетки указанных выше алмазоподобных фаз для их идентификации рентгеноструктурные исследования проводили как фотометодом (установка УРС-2,0; камеры РКД, DSK, РКУ-114М), так и

дифракционным методом (дифрактометр ДРОН-3,0) на  $\text{CrK}_\alpha$ -излучении. Объектом изучения служили порошки, полученные непосредственно после растворения медных контейнеров, а также выделенные после многократного центрифугирования с использованием жидкостей разной плотности. Метод центрифугирования обеспечивал получение порошков, состоящих практически полностью из алмазов и графита. Фазовый состав и кристаллическая структура исследованных компактов приведены в табл. 2.

Как видно из табл. 2, во всех компактах присутствовали алмазы, графит и остаточный фуллерит  $\text{C}_{60}$ . Обнаружено также незначительное количество аморфного углерода;  $n$ -алмаз и гексагональный алмаз в компактах отсутствовали: на рентгенограммах наблюдали только дифракционные линии (111) и (220), отвечающие пространственной группе алмаза  $F\bar{a}3m$ .

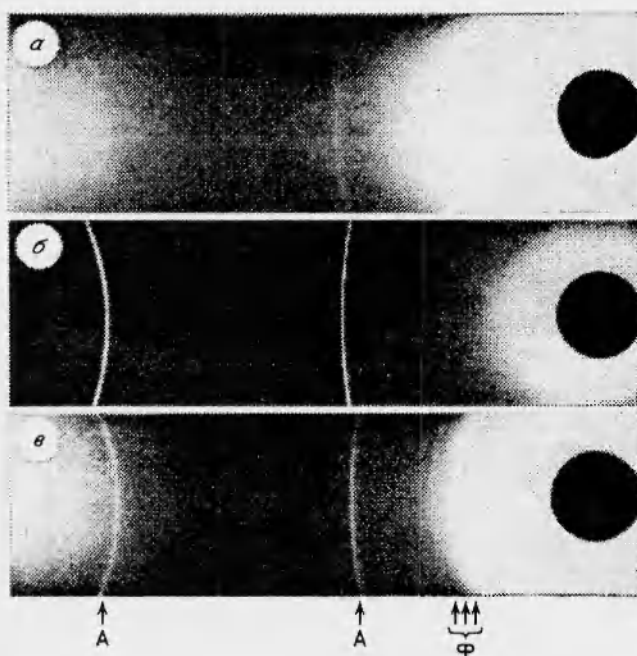


Рис. 2. Рентгенограммы алмазных порошков известной дисперсности и образца после ударно-волнового нагружения:

а — алмазный порошок размером несколько сотых микрометров; б — алмазный порошок ACM 3/2 дисперсностью 2–3 мкм; в — образец 6 (А — алмаз; Ф —  $\text{C}_{60}$  ГЦК).

У образцов 1, 41, 4 (см. табл. 2), подвергнутых ударному воздействию при  $p = 24 \div 26$  ГПа, изменяются ширина дифракционных линий алмаза и, следовательно, размеры алмазных частиц, в зависимости от состава исходной смеси медь/фуллерен. Для образцов 1 и 41 ширина линий заметно больше, т. е. размеры алмазных частиц меньше, чем для образца 4.

При повышении давления ударного нагружения до 38–40 ГПа фазовый состав компактов не изменялся (см. табл. 2): лишь немного уменьшилась интенсивность линий ГЦК-фуллерита  $\text{C}_{60}$  и увеличилась интенсивность линий алмаза. Узкая линия (111) алмаза характерна в данном случае не только для  $g = 5\%$ , но и для образца с  $g = 10\%$ . При  $g = 2\%$  эта линия остается более широкой, как и в случае ударного нагружения до 24 ГПа.

На рис. 2 приведены рентгенограммы, полученные от алмазных порошков и от образца 6, на дифракционных линиях которого хорошо заметны отдельные пятна, соответствующие дифракции на крупных кри-

сталлитах. Аналогичные пятна видны и на рентгенограмме алмазного порошка АСМ 3/2. Сопоставление рентгенограмм на рис. 2 позволяет сделать вывод, что в образце 6 синтезированы алмазы микронных размеров. Этот результат подтверждается (рис. 3) данными просвечивающей электронной микроскопии (JEM-100B). Полученные результаты позволяют утверждать, что при значительном повышении ударного давления относительно порогового давления стабильности ГЦК-фуллерита  $C_{60}$  ( $\sim 20$  ГПа) синтез алмазов повышенной крупности обеспечивается в более широком диапазоне составов исходных порошковых смесей медь/фуллерит при условии использования фуллеритового порошка, содержащего тяжелые фракции.

Таким образом, в работе получены алмазные частицы микронных размеров, по крайней мере на порядок более крупные, чем в [5–7]. На наш взгляд, размеры ударно-синтезированных алмазов определяются в первую очередь следующими факторами. Тяжелые фуллерены, входящие в состав исходного порошка в настоящих экспериментах, характеризуются пониженной стабильностью, что способствует синтезу алмазов при ударно-волновом нагружении. Сдвиговая деформация, достаточно интенсивно протекающая в условиях данных экспериментов (по сравнению с применением газовой пушки), эффективно дестабилизирует молекулы фуллеренов, также способствуя синтезу алмазов.

Наряду с алмазом все исследованные компакты содержали в заметных количествах графит и ГЦК-фуллерит  $C_{60}$ . Присутствие последнего обусловлено его высокой стабильностью. По-видимому, алмаз преимущественно образуется из более тяжелых фуллеренов, входящих в состав исходного порошка  $C_{60}-C_{100}$ . Проверка этого предположения предстоит в последующих экспериментах.

На основании проведенных экспериментов можно сделать следующие выводы.

1. Впервые осуществлен ударно-волновой синтез алмаза из порошка фуллеренов  $C_{60}-C_{100}$  с использованием техники взрывного компактирования с плоской схемой нагружения в диапазоне давлений 24–40 ГПа. По сравнению с методами, основанными на использовании газовой пушки, данная техника отличается простотой практической реализации и обеспечивает выход на технологически промышленные масштабы.

2. Полученные компакты разного исходного состава содержали алмаз, ГЦК-фуллерит  $C_{60}$ , графит и аморфный углерод. Наиболее крупные алмазы размерами 0,1–1 мкм образуются при ударном нагружении давлением 24 и 28 ГПа таблеток из медного порошка, содержащего 5 % фуллерита, и давлением 40 ГПа таблеток из медного порошка, содержащего 10 % фуллерита.

3. Синтез алмаза осуществлен без образования в конечных продуктах промежуточных алмазоподобных фаз типа  $n$ -алмаза и лонсдейлита (гексагонального алмаза).

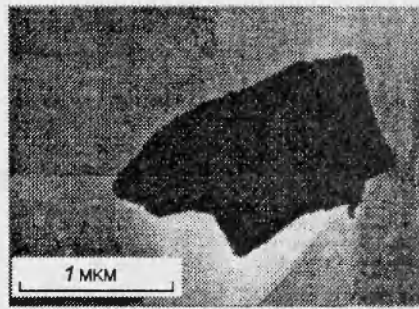


Рис. 3. Микрофотография кристалла алмаза (образец 6).

## ЛИТЕРАТУРА

1. Kroto H. W., Heath J. R., O'Brien S. C. et al. C<sub>60</sub>: Buckminster-fullerene // Nature. 1985. V. 318. P. 162–163.
2. Yoo C. S., Nellis W. J. Phase transformations in carbon fullerenes at high shock pressures // Science. 1991. V. 254. P. 1489–1491.
3. Kratschmer W., Lamb L. D., Fostiropoulos K., Huffman D. R. Solid C<sub>60</sub>: a new form of carbon // Nature. 1990. V. 347. P. 354–358.
4. Ruoff R. S., Ruoff A. L. Is C<sub>60</sub> stiffer than diamond? // Nature. 1991. V. 350. P. 663–664.
5. Nunez Regueiro M., Monceau P., Hodeau J.-L. Crushing C<sub>60</sub> to diamond at room temperature // Nature. 1992. V. 335. P. 237–239.
6. Yoo C. S., Nellis W. J., Sattler M. L., Musket R. G. Diamondlike metastable carbon phases from shock-compressed C<sub>60</sub> films // Appl. Phys. Lett. 1992. V. 61. P. 237–275.
7. Sekine T. Diamond recovered from shocked fullerites // Proc. Japan Acad. Ser. B. 1992. V. 68, N 7. P. 95–99.
8. Wang J., Wang L., Chen L. et al. Solid C<sub>60</sub>: pressure induced phase transitions // Chinese Phys. Lett. 1993. V. 10, P. 159–162.
9. Prümmer R. Explosivverdichtung pulvriger substanzen Grundlagen, Verfahren, Ergebnisse. Berlin a. o.: Springer, 1987.
10. Bundy F. P. Pressure-temperature phase diagram of elemental carbon // Physica A. V. 156. P. 169–178.
11. Hirai H., Kondo K. A new crystalline form of carbon under shock compression // Proc. Japan Acad. Ser. B. 1991. V. 67, N 3. P. 22–26.
12. Hirai H., Kondo K. Modified phases of diamond formed under shock compression and rapid quenching // Science. 1991. V. 253. P. 772–774.
13. Epanchintsev O. G., Nesterenko V. F., Dityatyev A. A. Influence of shock compression on C<sub>60</sub>, C<sub>70</sub>, C<sub>60</sub>–C<sub>250</sub> // Int. Workshop on Fullerenes and Atomic Clusters (IWFACT'93), St. Petersburg, 4–9 Oct. 1993: Book of Abstr. P. 111.
14. Епанчинцев О. Г., Дитятьев А. А. Стабильность фуллеренов при ударно-волновом и статическом нагружении // Физика горения и взрыва. 1994. Т. 30, № 2. С. 126–128.
15. Нестеренко В. Ф. Импульсное нагружение гетерогенных материалов. Новосибирск: Наука. Сиб. отд-ние, 1992.
16. Баум Ф. А., Орленко Л. П., Станюкович К. П. и др. Физика взрыва / Под ред. К. П. Станюковича. М.: Наука, 1975.
17. Aziz A. K., Hurwitz H., Sternberg H. M. Energy transfer to a rigid piston under detonation loading // Phys. Fluids. 1961. V. 4, N 3. P. 380–384.

Поступила в редакцию 19/IV 1994 г.,  
в окончательном варианте — 15/VII 1994 г.